



Министерство науки и высшего образования Российской Федерации  
Федеральное государственное бюджетное образовательное учреждение  
высшего образования  
«Московский государственный технический университет  
имени Н.Э. Баумана  
(национальный исследовательский университет)»  
(МГТУ им. Н.Э. Баумана)

ФАКУЛЬТЕТ

РОБОТОТЕХНИКА И КОМПЛЕКСНАЯ АВТОМАТИЗАЦИЯ (РК)

КАФЕДРА

РК6 «СИСТЕМЫ АВТОМАТИЗИРОВАННОГО ПРОЕКТИРОВАНИЯ»

## **Отчет по лабораторной работе**

**Исследование эффективности статической балансировки  
загрузки МВС с использованием имитационного моделирования**

Студент

\_\_\_\_\_

**Абидоков Р. Ш.  
РК6-21М**

Преподаватель

\_\_\_\_\_

**Карпенко А. П.**

2022 г.

## Постановка задачи исследования эффективности статистической балансировки загрузки МВС

Пусть  $X$  –  $n$ -мерный вектор параметров задачи. Положим, что  $X \in R^n$ , где  $R^n$  –  $n$ -мерное арифметическое пространство. Параллелепипедом допустимых значений вектора параметров назовем не пустой параллелепипед  $\Pi = \{X \mid x_i^- \leq x_i \leq x_i^+, i \in [1, n]\}$ , где  $x_i^-, x_i^+$  – заданные константы. На вектор  $X$  дополнительно наложено некоторое количество функциональных ограничений, формирующих множество  $D = \{X \mid g_i(X) \geq 0, j = 1, 2, \dots\}$ , где  $g_i(X)$  – непрерывные ограничивающие функции.

На множестве  $D_x = \Pi \cap D$  тем или иным способом (аналитически или алгоритмически) определена вектор-функция  $F(X)$  со значениями в пространстве  $R^m$ . Ставится задача поиска значения некоторого функционала  $\Phi(F(X))$ .

Положим, что приближенное решение поставленной задачи может быть найдено по следующей схеме:

*Шаг 1.* Покрываем параллелепипед  $\Pi$  некоторой сеткой  $\Omega$  (равномерной или неравномерной, детерминированной или случайной) с узлами  $X_1, X_2 \dots X_Z$ .

*Шаг 2.* В тех узлах сетки  $\Omega$ , которые принадлежат множеству  $D_x$ , вычисляем значения вектор функции  $F(X)$ .

*Шаг 3.* На основе вычисленных значений вектор функции  $F(X)$  находим приближенное значение функционала  $\Phi(F(X))$ .

Суммарное количество арифметических операций, необходимых для *однократного* определения принадлежности вектора  $X$  множеству  $D_x$  (т.е. суммарную вычислительную сложность ограничений  $x_i^- \leq x_i \leq x_i^+$  и ограничивающих функций  $g_i(X)$ ), обозначим  $C_g \geq 0$ . Далее в эксперименте будем полагать  $C_g = 0$ .

Неизвестную вычислительную сложность вектор-функции  $F(X)$  обозначим  $C_f(X)$ . Подчеркнем зависимость величины  $C_f$  от вектора  $X$ . Величина  $C_f(X)$  удовлетворяет, во-первых, очевидному ограничению  $C_f(X) \geq 0$ . Во-вторых, положим, что известно ограничение сверху на эту величину  $C_f^{max}$ , имеющее смысл ограничения на максимально допустимое время вычисления значения  $F(X)$ . Вычислительную сложность  $C_f(X_i)$  назовем вычислительной сложностью узла  $X_i, i \in [1, Z]$ .

Вычислительную сложность генерации сетки  $\Omega$  положим равной  $ZC_\Omega$ , а вычислительную сложность конечномерной аппроксимации функционала  $\Phi(F(X))$  – равной  $\zeta C_\Omega$ , где  $\zeta$  (дзета) – общее количество узлов сетки  $\Omega$ , принадлежащих множеству  $D_x$ .

Далее в эксперименте также будем полагать  $C_f = C_\Omega = 0$ .

В качестве вычислительной системы рассмотрим однородную МВС с распределенной памятью, состоящую из процессоров  $P_1, P_2 \dots P_N$  и *host*-процессора, имеющих следующие параметры:

- $t$  – время выполнения одной арифметической операции с плавающей запятой;
- $d = d(N)$  – диаметр коммуникационной сети;
- $l$  – длина вещественного числа в байтах;
- $t_s$  – латентность коммуникационной сети;
- $t_c$  – время передачи байта данных между двумя соседними процессорами системы без учета времени  $t_s$ .

В качестве меры эффективности параллельных вычислений используем ускорение

$$S_i(N) = \frac{T(1)}{T_i(N)}, \quad (1)$$

где  $T(1)$  – время последовательного решения задачи на одном процессоре системы,  $T_i(N)$  – время параллельного решения той же задачи на  $N$  процессорах,  $i = 1, 2$  – номер метода балансировки.

### Статическая балансировка загрузки методом равномерной декомпозиции параллелепипеда П

Положим, что из числа  $Z$  узлов расчетной сетки  $\Omega$  множеству  $D_x$  принадлежит  $\zeta$  узлов  $\tilde{X}_1, \tilde{X}_2 \dots \tilde{X}_\zeta$ . Обозначим  $z = \left\lfloor \frac{\zeta}{N} \right\rfloor$ . Тогда идею рассматриваемого метода балансировки загрузки можно представить в следующем виде (Рис. 1):

- среди всех узлов  $X_1, X_2 \dots X_Z$  сетки  $\Omega$  выделяем  $\zeta$  узлов  $\tilde{X}_1, \tilde{X}_2 \dots \tilde{X}_\zeta$ ;
- разбиваем узлы  $\tilde{X}_1, \tilde{X}_2 \dots \tilde{X}_\zeta$  на  $N$  множеств  $\tilde{\Omega}_i, i \in [1, N]$ , где множество  $\tilde{\Omega}_1$  содержит узлы  $\tilde{X}_1, \tilde{X}_2 \dots \tilde{X}_z$ , множество  $\tilde{\Omega}_2$  – узлы  $\tilde{X}_{z+1}, \tilde{X}_{z+2} \dots \tilde{X}_{2z}$  и т.д.
- назначаем для обработки процессору  $P_i$  множеств узлов  $\tilde{\Omega}_i, i \in [1 : N]$ .

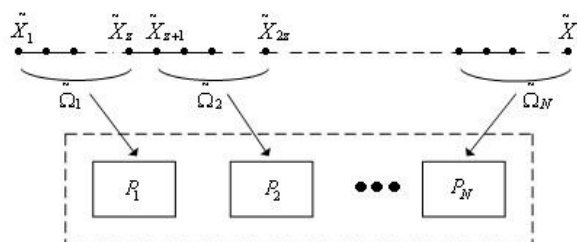


Рис. 1. Балансировка загрузки методом равномерной декомпозиции узлов

Для данного метода балансировки загрузки время решения задачи на процессоре  $P_i$  можно оценить величиной

$$\tau_i = \tau = 2t_s + znldt_c + zmltdt_c + tzC_f, \quad (2)$$

время параллельного решения всей задачи – величиной

$$T_2(N) = \tau, \quad (3)$$

а время решение задачи на одном процессоре величиной

$$T(1) = t\zeta C_f. \quad (4)$$

Таким образом, схема алгоритма для аналитической оценки эффективности балансировки загрузки методом равномерной декомпозиции расчетных узлов имеет следующий вид:

- в квадрате  $\Pi$  строим равномерную по каждому из измерений сетку  $\Omega$ ;
- находим количества узлов  $\zeta, z$ ;
- по формуле (2) вычисляем значение величины  $\tau$ ;
- по формуле (3) находим величину  $T_2(N)$ ;
- по формуле (4) определяем значение величины  $T(1)$ ;
- по формуле (1) находим оценку ускорения.

### Экспериментальная часть

Рассмотрим двумерную задачу ( $n = 2$ ). Параллелепипед  $\Pi$  в этом случае представляет собой прямоугольник  $\Pi = \{X | x_i^- \leq x_i \leq x_i^+, i \in [1, 2]\}$ . Положим, что  $x_1^- = x_2^- = 0, x_1^+ = x_2^+ = 1$ , так что область  $\Pi$  является квадратом (Рис. 2).

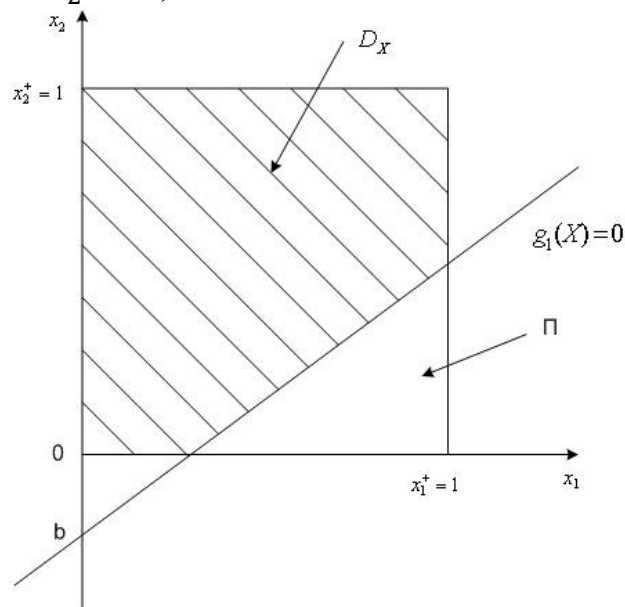


Рис. 2. Расчетная область задачи

Множество  $D$  формируется с использованием одной ограничивающей функции  $g_1(X) \geq 0$ , то есть  $D = \{X | g_1(X) \geq 0\}$ . Примем, что эта функция линейна и проходит через заданную преподавателем точку плоскости  $O(x_1, x_2)$  с координатами  $(0, b)$ , как показано на Рис. 2.

Таким образом, уравнение этой функции имеет вид  $x_2 = ax_1 + b$ ,  $a > 0$  В соответствии с номером варианта заданы значения параметров ограничивающей функции:  $a = 1.0$ ,  $b = -0.1$ . Общее количество узлов  $Z = 256 * 256 = 65536$ , количество попавших в область  $D_x$  узлов  $\zeta = 38971$  (принимая равным 39168, как ближайшим кратным 256).

Параметры моделируемой МВС:

$$N = 2, 4, 8, 16, 32, 64, 128, 256;$$

$$C_f = 10^2, 10^3, 10^4 \text{ с};$$

$$m = 100;$$

$$l = 8;$$

$$t = 10 * 10^{-9} \text{ с};$$

$$t_s = 50 * 10^{-6} \text{ с};$$

$$t_c = \frac{1}{80} * 10^{-6} \text{ с};$$

$$d(N) = 2\sqrt{N} - 1;$$

Полученные значения матожиданий и среднеквадратичных отклонений значений ускорений для целевой функции со сложностями, равномерно распределенными в интервалах  $C_f \in [0, C_f^{max}]$ ,  $C_f^{max} = 2 * 10^4, 2 * 10^6$ , приведены в Табл. 1, 2. Исходный код программы приведен в Приложении 1.

**Табл. 1.** Полученные результаты для различных N при  $r = 1$

N	$S, C_f^{max} = 2 \cdot 10^4$	$S, C_f^{max} = 2 \cdot 10^6$
2	0.99	1.98
4	1.31	3.89
8	1.57	7.61
16	1.74	14.5
32	1.84	26.7
64	1.90	46.4
128	1.92	73.6
256	1.94	105.1

**Табл. 2.** Полученные результаты для различных N при  $r = 300$

N	$S, C_f^{max} = 2 \cdot 10^4$		$S, C_f^{max} = 2 \cdot 10^6$	
	$M^*[S(N)]$	$\sigma^*[S(N)]$	$M^*[S(N)]$	$\sigma^*[S(N)]$
2	0.989	0.003	1.977	0.008
4	1.313	0.004	3.902	0.016
8	1.571	0.004	7.608	0.032
16	1.743	0.005	14.565	0.091
32	1.843	0.005	26.742	0.188
64	1.899	0.005	46.467	0.409
128	1.928	0.005	73.593	0.548
256	1.942	0.005	105.029	0.852

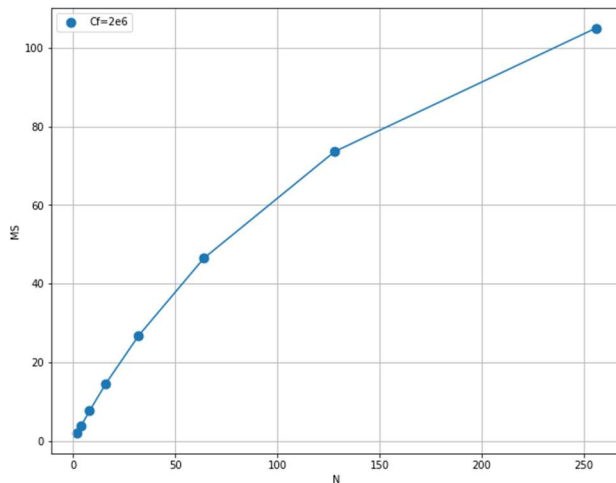


Рис. 3  $M^*[S(N)]$  для  $C_f^{max} = 2 \cdot 10^6$

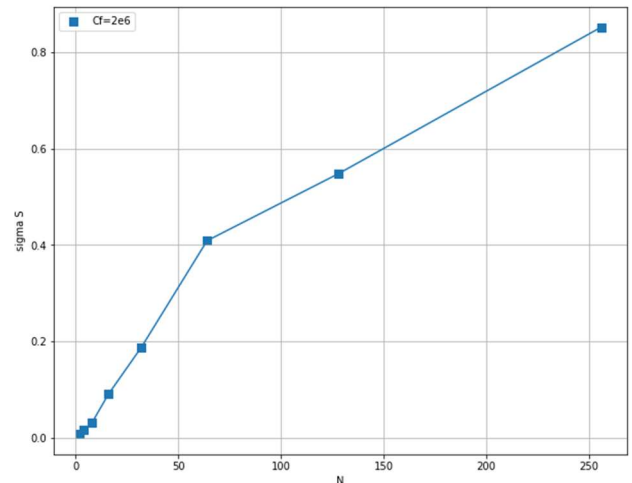


Рис. 4  $\sigma^*[S(N)]$  для  $C_f^{max} = 2 \cdot 10^6$

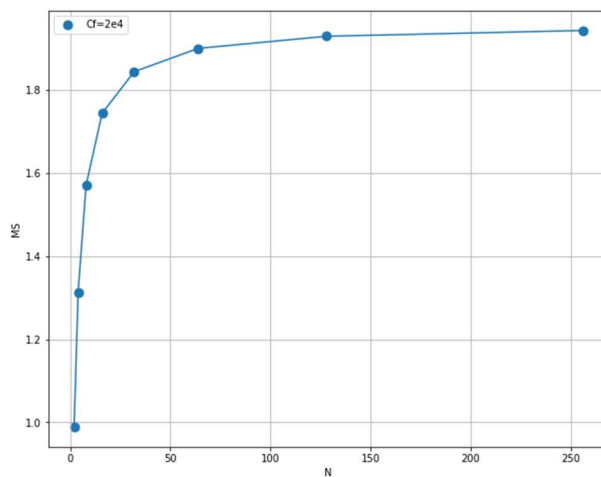


Рис. 5  $M^*[S(N)]$  для  $C_f^{max} = 2 \cdot 10^4$

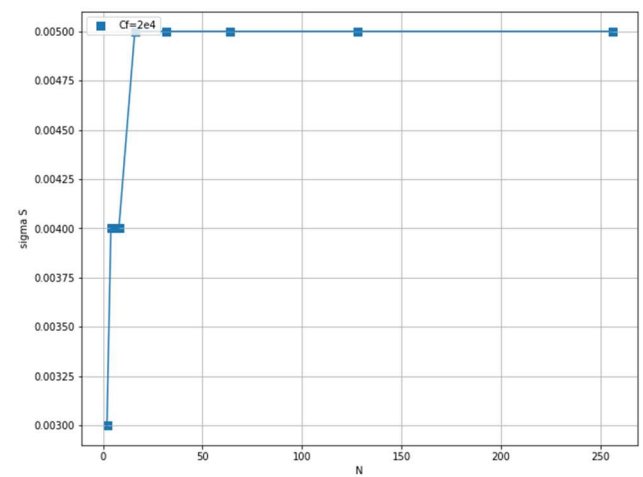


Рис. 6  $\sigma^*[S(N)]$  для  $C_f^{max} = 2 \cdot 10^4$

## Ответы на контрольные вопросы

1. Чем объясняется наблюдаемый характер зависимостей ускорений  $S(N)$  и оценки математического ожидания ускорения  $M^*[S(N)]$ ?

С ростом числа процессоров уменьшается количество полезных вычислений, совершаемых каждым процессором, при этом издержки на коммуникацию не уменьшаются – как следствие, уменьшается эффективность распараллеливания.

2. Чем объясняется наблюдаемый характер зависимости оценки математического ожидания ускорения  $M^*[S(N)]$  от величины  $C_f^{max}$ ?

С увеличением величины  $C_f^{max}$  уменьшается доля времени, затрачиваемого на коммуникацию между процессами, и увеличивается доля времени, затрачиваемого на вычисление функции в узлах, которое и делится между процессорами – как следствие, растет эффективность распараллеливания.

3. Чем объясняется наблюдаемый характер зависимости оценки среднего квадратичного отклонения  $\sigma^*[S(N)]$  от величины  $C_f^{max}$ ?

Поскольку форма функции распределения величины ускорения  $S(N)$  не зависит от числа процессоров  $N$ , отношение между математическим ожиданием  $M^*[S(N)]$  и средним квадратичным отклонением  $\sigma^*[S(N)]$  также не зависит от  $N$ . По этой причине график среднего квадратичного отклонения повторяет график математического ожидания.

### Исходный код программы

```
N_proc EQU 256
points_N EQU 39168

t_s EQU 50e-6
m_s EQU 100
l_s EQU 8
t_c EQU 0.125e-7
N_gr EQU 2
d_s EQU SQR(N_proc)-1
z EQU points_N/N_proc
tau_i EQU 2
t EQU 1e-9
uniform_cf_par FUNCTION rn2,c2
0,0.0/1,2e4
uniform_cf_posl FUNCTION rn3,c2
0,0.0/1,2e4
proc_par STORAGE 256
proc_posl STORAGE 1
us VARIABLE p4/p3

tabl_s TABLE v$us,42,0.25,60
generate 1e8,100
split (N_proc - 1)

assign 1,z
queue qhost1_par
seize host
depart qhost1_par
advance 5e-6,3e-6
release host

queue qproc_par
enter proc_par
depart qproc_par
advance tau_i,1e-8
proc2 advance t,fn$uniform_cf_par
loop 1,proc2
leave proc_par

queue qhost2_par
seize host
depart qhost2_par
advance 5e-6,3e-6
release host

assemble (N_proc)
assign 3,m1

mark 2
split (points_N - 1)

queue qhost1_posl
seize host
depart qhost1_posl
advance 5e-6,3e-6
release host

queue qproc_posl
enter proc_posl
depart qproc_posl
advance t,fn$uniform_cf_posl
leave proc_posl

queue qhost2
seize host
depart qhost2
advance 5e-6,3e-6
release host

assemble points_N
assign 4,mp2

tabulate tabl_s
TERMINATE 1
START 30
```